



MINISTÉRIO DA CIÊNCIA, TECNOLOGIA, INOVAÇÕES E COMUNICAÇÕES  
INSTITUTO NACIONAL DE PESQUISAS ESPACIAIS

# **ESTUDO DA PERTURBAÇÃO DA ÓRBITA DE SATÉLITES ARTIFICIAIS DEVIDO À AÇÃO DA ATRAÇÃO LUNI-SOLAR**

**RELATÓRIO FINAL DE PROJETO DE INICIAÇÃO CIENTÍFICA  
(PIBIC/INPE/CNPq)**

Erick de Souza Fernandes (UBC, Bolsista PIBIC/CNPq)  
E-mail: erick.souza281355@gmail.com

Hans-Ulrich Pilchowski (INPE-ETE/DMC, Orientador)  
E-mail: hans.pilchowski@inpe.br

Julho de 2018



MINISTÉRIO DA CIÊNCIA, TECNOLOGIA, INOVAÇÕES E COMUNICAÇÕES  
**INSTITUTO NACIONAL DE PESQUISAS ESPACIAIS**

*“Dedico este trabalho primeiramente a Deus, por ser essencial em minha vida, autor de meu destino, meu guia, socorro presente na hora da angústia, ao meu pai Sidnei de Oliveira Fernandes, minha mãe Giscele Cristina Machado e aos meus irmãos.”*



MINISTÉRIO DA CIÊNCIA, TECNOLOGIA, INOVAÇÕES E COMUNICAÇÕES  
INSTITUTO NACIONAL DE PESQUISAS ESPACIAIS

## AGRADECIMENTO

*“Aos meus pais, amigos Anderson Bartholomeu de Oliveira e Rodolfo Lyu Shimotsu, INPE e o CNPq pelo incentivo e ao Prof. Hans-Ulrich Pilchowski, pela sua orientação, seu grande desprendimento em ajudar-nos e amizade sincera.”*



## RESUMO

O presente trabalho tem como foco a elaboração de um algoritmo para a obtenção da perturbação da órbita dos satélites artificiais, devida à ação da atração lunar. Para obter o entendimento do funcionamento das leis da mecânica celeste e aplicá-las sobre órbitas de satélites artificiais. Para efetuar aplicação foi necessário o uso do método inverso e do método direto, consecutivamente. Assim, a primeira parte a considerar no problema dos dois corpos, para obter posição, velocidade e os elementos keplerianos, subsequentes, da órbita do satélite, ao longo do tempo, considerando o geopotencial da Terra, até o nível J2. Inicialmente, o algoritmo não considerou a perturbação, para obter o vetor de estado. Porém, para aplicá-lo ao problema dos três corpos, onde entra a perturbação, fez-se necessário obter uma constante, a partir da posição da Terra em relação à Lua. E então aplicá-la na variação de Gauss, que fornecerá a perturbação dos elementos keplerianos em cada ponto da órbita individual e simultaneamente. O algoritmo desenvolvido, tem como finalidade fornecer essas perturbações automaticamente, colocando-o em forma de sub-rotina, passível de ser inserida em algoritmos computacionais mais abrangentes, de forma que seus resultados possam ser somados a outras perturbações Orbitais e utilizá-las na correção orbital, sempre que necessário.

Palavras-chave: Determinação da órbita de satélites, perturbação da órbita, atração luni-solar.



## SUMÁRIO

1 INTRODUÇÃO.....	8
2 OBJETIVO .....	9
2.1 OBJETIVOS GERAIS .....	9
2.2 OBJETIVOS ESPECIFICOS .....	9
3 FUNDAMENTAÇÃO TEÓRICA .....	9
3.1 ELEMENTOS KEPLERIANO .....	9
3.2 VARIAÇÃO DE GAUSS.....	10
3.3 ATRAÇÃO LUNAR .....	10
4 MATERIAIS E METODOS.....	12
5 ANÁLISES E RESULTADO.....	12
6 CONCLUSÃO.....	17
REFERÊNCIAS BIBLIOGRÁFICAS .....	18
APÊNDICE .....	19



## LISTA DE ILUSTRAÇÕES

Figura 1 - Atração lunar que influencia nos satélites terrestres.....	11
Figura 3 - dados para o posicionamento das três posições.....	13
Figura 4 - Dados do posicionamento direto. ....	13
Figura 5 - Dados do posicionamento inverso. ....	14
Figura 6 - Propagação orbital de um satélite Terrestre.....	14
Figura 7 - Comportamento da ascensão da reta perturbada devido a atração lunar ao longo do tempo. ....	15
Figura 8 - Comportamento da inclinação perturbada devido a atração lunar ao longo do tempo. ....	16
Figura 9 - Comportamento do argumento do perigeu perturbada devido a atração lunar ao longo do tempo. ....	16



## LISTA DE SIMBOLOS E ABREVIATURAS

$a$  – Semi-eixo maior

$h$  – Momento angular

$e$  – Excentricidade

$i$  – Inclinação

$\Omega$  – Ascensão da reta

$\omega$  – Argumento do perigeu

$f$  – Anomalia verdadeira

$\mu$  – Constante gravitacional

$\mu_L$  – Constante gravitacional lunar

$F(r)$  – Força Atrativa

$G$  – Constante gravitacional universal

$M$  – Massa do corpo maior

$m$  – Massa do corpo menor

$r$  – Distancia entre os dois corpos

## 1 INTRODUÇÃO

Como quase todos têm a curiosidade de contemplar o céu e pensar em seus enigmas, foi devido essa fascinação que possibilitou entender uma parte da lógica empregada no cosmo, que como base desses conhecimentos, é desenvolvido os estudos astronômicos atuais que representam esses fenômenos.

A partir desses estudos, como o movimento dos corpos celestes, que consiste no comportamento dos planetas em relação ao Sol, corpo com maior massa, que seguindo as teorias de Isaac Newton, no conceito de massas e a sua força de atração, em conjunto com as leis de Kepler, onde foram utilizados os conceito para colocar em prática o estudo da interferência que ocorre nos satélites artificiais, devido à ação da força gravitacional influenciada pela atração da Lua.

Assumindo que o leitor tenha conhecimento básico de mecânica celeste, o presente trabalho consiste no desenvolvimento de um algoritmo, que deve ser aplicado na determinação de órbitas e da perturbação dessas em satélites artificiais. Assim, foram utilizados os métodos Direto e Inverso para a propagação orbital. E como base do projeto foi desenvolvido um programa visando a perturbação da atração lunar, que irá verificar a interferência nos elementos keplerianos ao longo do tempo, os quais continuariam constantes caso não houvessem perturbações, como a gravitacional devida à não homogeneidade de distribuição de massa e à forma não esférica da Terra [2].



## 2 OBJETIVO

### 2.1 OBJETIVOS GERAIS

O projeto de pesquisa tem como objetivo desenvolver um algoritmo computacional que forneça dados da **perturbação orbital** de satélites artificiais terrestres, **devida à ação da atração lunar**. Assim, visa-se alcançar o objetivo de obter um algoritmo que possa ser inserido em programas computacionais mais abrangentes, destinados ao controle de órbitas.

### 2.2 OBJETIVOS ESPECIFICOS

- Analisar os dados extraídos pelo método direto e inverso, comparando-os com os dados já existentes.
- Analisar graficamente a propagação orbital do satélite sem uma perturbação.
- Analisar graficamente a perturbação devido a atração lunar nos elementos keplerianos individualmente.

## 3 FUNDAMENTAÇÃO TEÓRICA

### 3.1 ELEMENTOS KEPLERIANO

Os elementos keplerianos ou elementos orbitais, são os componentes que definem uma órbita e é responsável por determinar a forma de movimento, posição e sua velocidade, dentre eles tem [2]:

Momento angular ( $h$ ) → Momento angular ou quantidade de movimento angular de um corpo é uma grandeza física associada à rotação desse corpo.

Excentricidade ( $e$ ) → Representa o tipo de órbita (hiperbólica, elíptica, circular).

Inclinação ( $i$ ) → É o ângulo formado entre o plano da órbita e o plano de referência.

Anomalia verdadeira ( $f$ ) → Ângulo entre as direções foco da elipse - periastro e foco da elipse.

Argumento do perigeu ( $\omega$ ) → Ponto mais próximo do foco.

Nodo ascendente ( $\Omega$ ) → Ponto onde a órbita cruza o Equador, do hemisfério sul ao norte.

### 3.2 VARIAÇÃO DE GAUSS

Uma pergunta importante é como a perturbação afeta os elementos orbitais; ou seja, eles deixam de ser constantes, e passam a variar no tempo. A partir do conhecimento dos elementos orbitais  $(h, e, f, \Omega, i, \omega)$ , como uma função temporal podemos determinar a posição e a velocidade de um objeto, prevendo a órbita resultante, que tende a ficar degenerada ao longo do tempo, devido a uma aceleração perturbadora que tende a afetar essas constantes [1], abaixo tem os elementos keplerianos devido à aceleração perturbadora em cada elemento ao longo do tempo:

$$\frac{dh}{dt} = r \cdot \rho_s$$

$$\frac{de}{dt} = \frac{h}{\mu} \sin f \rho_s + \frac{1}{\mu h} [(h^2 + \mu r) \cos f + \mu e r] \rho_s$$

$$\frac{di}{dt} = \frac{r}{h} \cos(\omega + f) \rho_w$$

$$\frac{df}{dt} = \frac{h}{r^2} + \frac{1}{eh} \left[ \frac{h^2}{\mu} \cos f \rho_r - \left( r + \frac{h^2}{\mu} \right) \sin f \rho_s \right]$$

$$\frac{d\Omega}{dt} = \frac{r}{h \sin i} \sin(\omega + f) \rho_w$$

$$\frac{d\omega}{dt} = -\frac{1}{eh} \left[ \frac{h^2}{\mu} \cos f \rho_r - \left( r + \frac{h^2}{\mu} \right) \sin f \rho_s \right] - \frac{r \sin(\omega + f)}{h \tan i} \rho_w$$

Para os elementos orbitais perturbados, basta integrar os elementos citados acima em função do tempo, e obter os dados individuais que irá afetar a órbita.

### 3.3 ATRAÇÃO LUNAR

Um satélite quando está orbitando em torno da Terra fica sujeito a diversas forças, onde uma das forças predominantes é de origem gravitacional. Se a Terra fosse esférica e homogênea teria uma órbita elíptica, mas devido ao geopotencial apresentar deformações, tende a afetar a órbita [3]. Outra força que perturba a órbita é a ação gravitacional da Lua e

do Sol, onde segundo a teoria de Newton, uma massa  $m$  é atraído por uma massa  $M$ , e vice-versa, apresentando uma força de interação entre os dois corpos que varia de acordo com a massa e a distância, como pode-se observar na Eqn 3.1.

$$\mathbf{F}(r) = \frac{GMm}{r^2} \hat{\mathbf{r}} \quad (3.1)$$

Em uma aceleração gravitacional lunar, leva-se em consideração o problema de três corpos, que considera a posição dos corpos, no caso da lua os dados são obtidos a partir do almanaque astronômico e levadas em relação à uma origem referencial XYZ num momento de inercia, onde as três massas sofrem uma influência atrativa simultânea [1], por exemplo a Terra e a Lua atraem o satélite, como pode-se observar na figura 3.1.

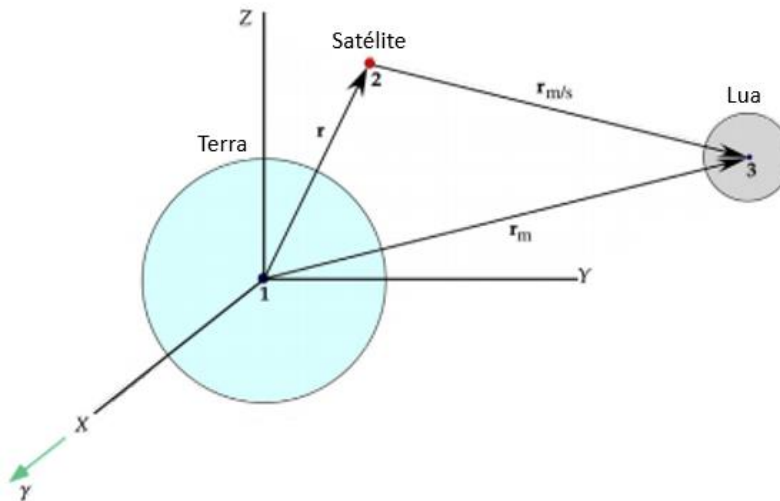


Figura 1 - Atração lunar que influencia nos satélites terrestres.  
Fonte: CURTIS H. D

Para obter a aceleração perturbadora  $\rho$  influenciada pela gravidade lunar tem-se que levar em consideração a constante gravitacional lunar  $\mu_L = 4903 \text{ km}^3/\text{s}^2$ , para aplicar na equação de movimento de Kepler, Eqn. (3.2).

$$\rho = \mu_L \left( \frac{r_m}{r_m^3} - \frac{r_m}{r_m^3} \right) \quad (3.2)$$

Calcule o vetor unitário nos eixos rsw:

$$\hat{r} = \frac{\mathbf{r}}{\|\mathbf{r}\|} \quad \hat{w} = \frac{\mathbf{r} \times \mathbf{v}}{\|\mathbf{r} \times \mathbf{v}\|} \quad \hat{s} = \frac{\dot{\mathbf{w}} \times \dot{\mathbf{r}}}{\|\dot{\mathbf{w}} \times \dot{\mathbf{r}}\|}$$

Depois de obter o vetor unitário nos pontos rsw, aplicar a aceleração perturbadora em cada ponto para colocar na equação de Gauss.

$$\rho_r = \boldsymbol{\rho} \cdot \hat{r} \quad \rho_s = \boldsymbol{\rho} \cdot \hat{s} \quad \rho_w = \boldsymbol{\rho} \cdot \hat{w}$$

## 4 MATERIAIS E METODOS

O projeto de pesquisa tem como foco inicial, a partir de uma linguagem de programação elaborar um algoritmo que venha a fornecer os dados dos métodos usados para determinar uma órbita, o primeiro passo consiste no método das três posições em conjunto com a propagação orbital em função do tempo, o procedimento é a partir do sinal emitido pelas três posições proporcionais do satélite, que é enviado para as antenas quando este entra no plano atmosférico, a partir deste método obtém-se a velocidade correspondente de cada posição, para usá-lo no próximo passo na propagação orbital para determinar a nova posição e velocidade ao longo do tempo. Depois de obter a determinação da órbita, foi feito um algoritmo que forneça a perturbação ocasionada pela atração lunar.

## 5 ANÁLISES E RESULTADO

Primeiramente o código foi implementado em linguagem Python, por ser de fácil interpretação e propicio a trabalhar com dados científicos, onde os resultados obtidos foram comparados com dados encontrados por CURTIS (2014).

Para validar o algoritmo de determinação de órbitas, foram comparados os dados obtidos dos métodos das três posições, direto e inverso com os já existentes, como os dados mostram mesmo comportamento, os algoritmos são considerados validos, abaixo pode-se observar os resultados nas Figura (3 – 5).

Os valores para validação dos dados para método das três posições, usado por CURTIS (2014):

*Posição 1:*  $-294,32\hat{i} + 4265,1\hat{j} + 5986,7\hat{k}$  (km)

*Posição 2:*  $-1365,5\hat{i} + 3637,6\hat{j} + 6346,8\hat{k}$  (km)

*Posição 3:*  $-2940,3\hat{i} + 2473,7\hat{j} + 6555,8\hat{k}$  (km)

```

12 Velocidade para a posição (dois): [-6.21740189 -4.01216524 1.59898473]
13
14 Os elementos orbitais que representa a posição e a velocidade (dois)
15 Semi-eixo maior : 7813.0 Km
16 Excentricidade: 0.10010369281339042
17 Inclinação: 60.000470277369566 graus
18 Ascensão do nodo: 40.00144177286778 graus
19 Argumento do Perigeu: 30.074116831547773 graus
20 Anomalia verdadeira: 49.92565926551782 graus
21
22
23 Process finished with exit code 0

```

*Figura 2 - dados para o posicionamento das três posições.  
Fonte: o Autor*

Os valores para validação de dados no método direto, usado por CURTIS (2014):

*Momento angular (h):* 80.000 km<sup>2</sup>/s

*Excentricidade (e):* 1.4

*Inclinação (i):* 30°

*Ascensão da reta (Ω):* 40°

*Argumento do perigeu (ω):* 60°

*Anomalia verdadeira (f):* 30°

```

11 posição: [-4039.8959232 4814.56048018 3628.62470217]
12 velocidade: [-10.38598762 -4.77192164 1.743875 ]
13
14 Process finished with exit code 0

```

*Figura 3 - Dados do posicionamento direto.  
Fonte: o Autor*

Os valores para validação de dados no método inverso, usado por CURTIS (2014):

*Posição:*  $- 6045\hat{i} - 3490\hat{j} + 2500\hat{k}$  (km)

*Velocidade:*  $- 3,457\hat{i} + 6,618\hat{j} + 2.533\hat{k}$  (km/s)

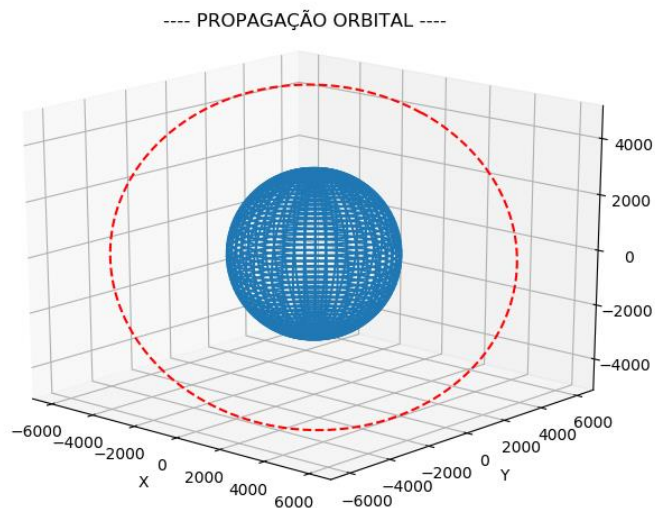
```

12 Momento angular :    58311.66993185606   Km²/s
13 Excentricidade:    0.17121234628445342
14 Inclinação:      153.2492285182475   graus
15 Ascensão do nodo:  104.72071466560382   graus
16 Argumento do Perigeu:  20.068316650582467   graus
17 Anomalia verdadeira:  28.445628306614967   graus
18
19
20 Process finished with exit code 0

```

*Figura 4 - Dados do posicionamento inverso.  
 Fonte: o Autor*

Para colocar em prática a propagação orbital ao longo do tempo, foram utilizados os métodos citados a cima em conjunto, na Figura 6 mostra uma simulação de como o programa apresentaria graficamente os satélites orbitando a Terra.



*Figura 5 - Propagação orbital de um satélite Terrestre.  
 Fonte: o Autor*

Para simulação das perturbações devido as ações ocasionadas pela atração lunar, foram usados os mesmos dados encontrados por CURTIS (2014), seguem abaixo os dados usados:

*Semi – eixo maior* = 26553.4

*Excentricidade* = 0.741

*Argumento do perigeu* =  $270^\circ$

*Ascensão da reta* = 0

*Inclinação* =  $63.4^\circ$

*Anomalia verdadeira* = 0

*Data Juliana* = 2454283

Nas Figuras (7 – 9), é possível observar as perturbações nos elementos orbitais mais significativos em uma órbita elíptica, levando em consideração a força de atração lunar no problema dos três corpos durante sessenta dias, comparando-os com dados já existentes.

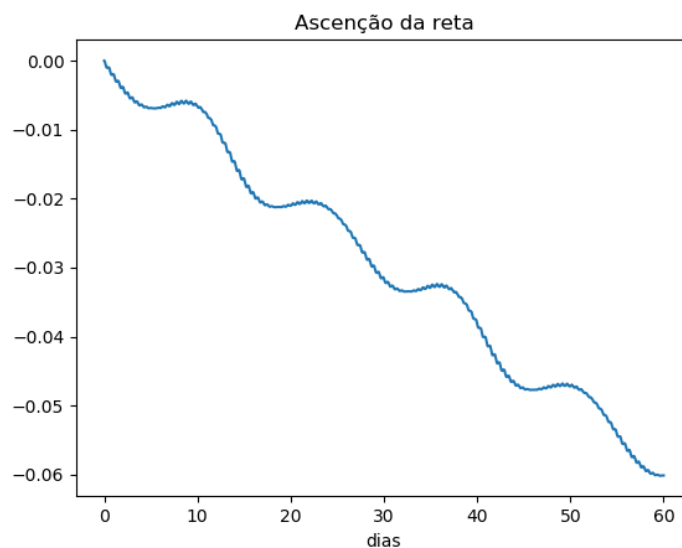


Figura 6 - Comportamento da ascensão da reta perturbada devido a atração lunar ao longo do tempo.  
Fonte: o Autor

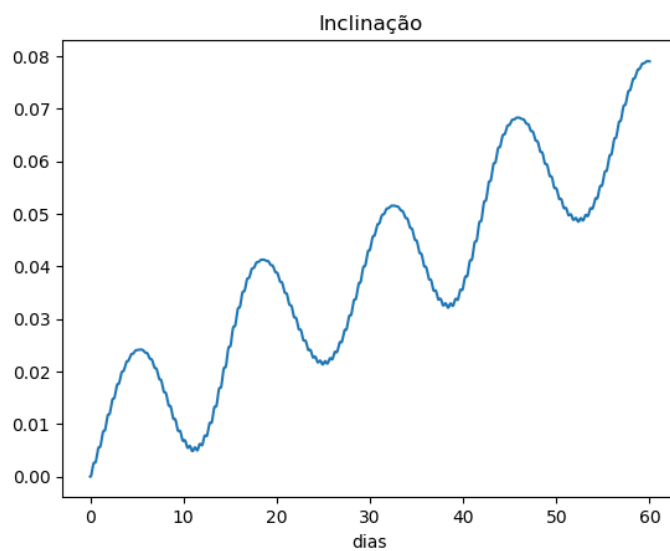


Figura 7 - Comportamento da inclinação perturbada devido a atração lunar ao longo do tempo.  
Fonte: o Autor

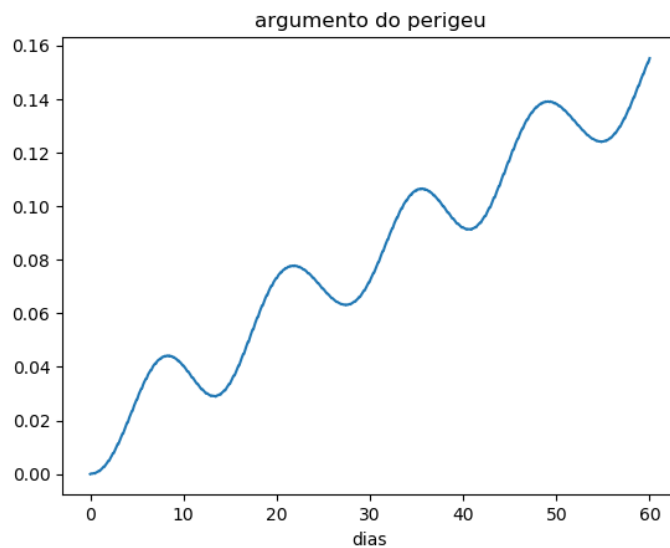


Figura 8 - Comportamento do argumento do perigeu perturbada devido a atração lunar ao longo do tempo.  
Fonte: o Autor





## 6 CONCLUSÃO

Os resultados indicam que os algoritmos foram implementados com êxito, se aproximando dos dados encontrados por CURTIS (2014). Nas perturbações, os elementos keplerianos mais significativos ( $f, i, \omega$ ), se dá pelo fato de os outros elementos não variarem muito no tempo, levando em consideração que nas outras perturbações tem um efeito mais significativo, por esse motivo não foi computado.

O tipo de linguagem usada para o tratamento dos dados, apresenta mais casas decimais se aproximando dos dados reais, infelizmente o tempo de processamento não está sendo hábil, sendo umas das possíveis melhorias futuras, junto da implantação de uma interface gráfica que facilite a comunicação entre o homem e a máquina, deixando mais rápido e eficiente.



## REFERÊNCIAS BIBLIOGRÁFICAS

- [1] - CURTIS, Howard D. **Orbital Mechanics: for Engineering Students**. Third Edition. United States: Elsevier Ltd. 2014.
- [2] - PILCHOWSKI, H.U.; SILVA, W.C.C. & FERREIRA, L.D.D. **Introdução à mecânica celeste**. São José dos Campos, São Paulo, Brasil, 1981. (INPE-2126-RPE/350)
- [3] - FERREIRA, L.D.D.; SILVA, W.C.C. & PILCHOWSKI, H.U. **Notas sobre sistemas de coordenadas e tempo**. São José dos Campos, São Paulo, Brasil, 1979. (INPE-1634-RPE/039)
- [4] - BROUWER, D. & CLEMENCE, G.M. **Methods of celestial mechanics**. New York, N.Y., Academic, 1961.
- [5] - ESCOBAL, P.R. **Methods of orbital determination**. New York, N.Y., John Wiley & Sons, 1965.
- [6] - PRUSSING, J. E.; CONWAY, B. A. **Orbital Mechanics**. Oxford, University Press, 1993.  
BOND, V. R.; ALLMAN, M. C. **Modern Astrodynamics: Fundamentals and Perturbation Methods**. Princeton University Press, 1996.
- [7] - KAPLAN, M. H. **Modern spacecraft dynamic & control**. New York: John Wiley & Sons, 1976.
- [8] - LARSON, W. J.; WERTZ, J. R. **Space mission analysis and design**. Torrance, California: Space Technology Series, 1992.
- [9] - WIE, B. **Space vehicle dynamics and control**. Reston, Virginia: AIAA Education Series, 1998.
- [10] - NOAA/NASA/USAF, 1976. **U.S. Standard Atmosphere**, 1976. GPO.

## APÊNDICE

Este apêndice lista os scripts do python onde foram implementados os algoritmos citados no texto. Este programa usa uma linguagem simples, onde foi desenvolvido a lógica do problema da perturbação luni-solar.

Algoritmo para o procedimento do método das três posições:

```
class three_pos(object):
    def __init__(self, mi, pos):
        self.mi = mi
        self.pos = pos
        self.tol = 1e-4

    def três_posições(self):
        Pos1 = self.pos[0]
        Pos2 = self.pos[1]
        Pos3 = self.pos[2]

        pos1 = np.sqrt(Pos1[0] ** 2 + Pos1[1] ** 2 + Pos1[2] ** 2)
        pos2 = np.sqrt(Pos2[0] ** 2 + Pos2[1] ** 2 + Pos2[2] ** 2)
        pos3 = np.sqrt(Pos3[0] ** 2 + Pos3[1] ** 2 + Pos3[2] ** 2)

        C12 = np.cross(Pos1, Pos2)
        C23 = np.cross(Pos2, Pos3)
        C31 = np.cross(Pos3, Pos1)

        c23 = np.sqrt(C23[0] ** 2 + C23[1] ** 2 + C23[2] ** 2)

        if abs(np.dot(Pos1, C23)/pos1/c23) > self.tol:
            print('\n Os vetores posição não são coplanares.\n\n')
        else:
            N = pos1*C23 + pos2*C31 + pos3*C12
            n = np.sqrt(N[0] ** 2 + N[1] ** 2 + N[2] ** 2)

            D = C12 + C23 + C31
            d = np.sqrt(D[0] ** 2 + D[1] ** 2 + D[2] ** 2)

            S = Pos1*(pos2 - pos3)+Pos2*(pos3 - pos1)+Pos3*(pos1 - pos2)

            Vel2 = np.sqrt(self.mi/n/d) * (np.cross(D, Pos2) / pos2 + S)

            print('\nResultados\nVelocidade para a posição (dois):',Vel2,
                  "\n\nOs elementos orbitais que representa a posição e a
                  velocidade (dois)")
```



Algoritmo para o procedimento do método direto:

```
class direto(object):
    R: np.ndarray
    V: np.ndarray
    def __init__(self, elk, mi):
        self.elk = elk
        self.mi = mi

    def pos_dir(self):
        momA = self.elk[0]
        exce = self.elk[1]
        incl = self.elk[2]
        AscR = self.elk[3]
        ArgP = self.elk[4]
        AnoV = self.elk[5]

        """ posição """
        rx = pow(momA, 2)/self.mi*(1/(1+exce*np.cos(AnoV)))*np.cos(AnoV)
        ry = pow(momA, 2)/self.mi*(1/(1+exce*np.cos(AnoV)))*np.sin(AnoV)
        rz = pow(momA, 2)/self.mi*(1/(1+exce*np.cos(AnoV)))*0

        """ velocidade """
        vx = self.mi/momA*-np.sin(AnoV)
        vy = self.mi/momA*(exce + np.cos(AnoV))
        vz = self.mi/momA*0

        Qx_1 = np.array([[np.cos(ArgP), np.sin(ArgP), 0],
                        [-np.sin(ArgP), np.cos(ArgP), 0],
                        [0, 0, 1]])

        Qx_2 = np.array([[1, 0, 0],
                        [0, np.cos(incl), np.sin(incl)],
                        [0, -np.sin(incl), np.cos(incl)]])

        Qx_3 = np.array([[np.cos(AscR), np.sin(AscR), 0],
                        [-np.sin(AscR), np.cos(AscR), 0],
                        [0, 0, 1]])

        Qx1 = np.dot(Qx_2, Qx_3)
        Qx = np.dot(Qx_1, Qx1)
        Qx_T = np.matrix.transpose(Qx)

        self.R = np.dot(Qx_T, np.array([rx, ry, rz]))
        self.V = np.dot(Qx_T, np.array([vx, vy, vz]))

    return self.R, self.V
```



Algoritmo para o procedimento do método inverso:

```
class inverso(object):
    def __init__(self, pos, vel):
        self.pos = pos
        self.vel = vel
        self.mi = 398600

    def pos_vel(self):
        """ posição (r) """
        r_e1 = np.asscalar(pow(self.pos[0], 2)+pow(self.pos[1], 2)+
pow(self.pos[2], 2))
        self.r_e = np.sqrt(r_e1)

        """ velocidade (v) """
        v_e1 = np.asscalar(pow(self.vel[0], 2) + pow(self.vel[1], 2) +
pow(self.vel[2], 2))
        self.v_e = np.sqrt(v_e1)

        """ multiplicação vetorial de posição com a velocidade """
        vr_0 = np.dot(self.vel, self.pos)
        self.vr = (vr_0 / self.r_e)

    def mom_ang(self):
        self.pos_vel()

        """ Magnitude do momento angular (h) """
        self.h = np.cross(self.pos, self.vel)
        h_e0 = np.asscalar(pow(self.h[0], 2) + pow(self.h[1], 2) +
pow(self.h[2], 2))
        return np.sqrt(h_e0)

    def incl(self):
        self.mom_ang()

        """ inclinação (i) """
        i_1 = (self.h[2] / self.mom_ang())
        incl = np.arccos(i_1)
        '''
        if np.degrees(incl) > 90:
            print('\t\033[1;31mOrbita retrograda\033[m')
        '''

        """ multiplicação vetorial de K com h """
        k = np.array([0, 0, 1])
        self.n1 = np.cross(k, self.h)
        n1_e0 = np.asscalar(pow(self.n1[0], 2) + pow(self.n1[1], 2) +
pow(self.n1[2], 2))
        self.n1_e = np.sqrt(n1_e0)
        return incl

    def asc_ret(self):
```



```
self.incl()
""" ascensão da reta """
return mth.acos((self.n1[0] / self.n1_e))

def excen(self):
    self.asc_ret()

    """ excentricidade """
    self.e = (1 / self.mi * ((pow(self.v_e, 2) - self.mi / self.r_e)
* self.pos) - self.r_e * self.vr * self.vel))
    e_e0 = np.asscalar(pow(self.e[0], 2) + pow(self.e[1], 2) +
pow(self.e[2], 2))
    return np.sqrt(e_e0)

def arg_per(self):
    self.excen()

    """ argumento do perigeu """
    return mth.acos(np.dot(self.n1, self.e) / (self.n1_e *
self.excen()))

def anom_verd(self):
    self.arg_per()

    """ anomalia Verdadeira """
    return mth.acos(np.dot(self.e, self.pos) / (self.excen() *
self.r_e))

def sem_Ex_maior(self):
    """ Raio do Perigeu """
    rp = pow(self.mom_ang(), 2) / self.mi * (1 / (1 + self.excen() *
np.cos(0)))
    """ Raio do Apogeu """
    ra = pow(self.mom_ang(), 2) / self.mi * (1 / (1 + self.excen() *
np.cos(180)))
    """ Semi eixo maior """
    return 0.5 * (int(rp + ra))

def anom_exce(self):
    """ Anomalia Excentrica """
    return 2 * mth.atan(np.tan(self.anom_verd() / 2) / np.sqrt((1 +
self.excen()) / (1 - self.excen()))))

def anom_media(self):
    """ Anomalia Media """
    return self.anom_exce() - self.excen() * np.sin(self.anom_exce())

def periodo(self):
    """ periodo """
    return 2 * np.pi / np.sqrt(self.mi) * pow(self.sem_Ex_maior(), 1.5)
```



```
def mov_med(self):
    """ Movimento Médio """
    return 2 * np.pi / self.periodo()

def anom_excI(self):
    """ Anomalia Excentrica Inicial """
    return mth.atan(np.sqrt((1 - self.excen()) / (1 + self.excen())))
* (np.tan(self.anom_verd() / 2)) * 2

def tempo_inic(self):
    """ Tempo Inicial """
    return (self.anom_excI() - self.excen() *
np.sin(self.anom_excI())) / self.mov_med()
```

Algoritmo para determinar a posição da Lua:

```
class pos_Lunar:
    To: float
    Obq: float
    LonL: float
    LatL: float
    HP: float
    def __init__(self, data):
        self.data = data
        self.RT = 6378

    def ALS_lunar_lat_lon(self):
        T = (self.data - 2451545.0)/36525

        long = 218.32 + 481267.881 * T\
+ 6.29 * np.sin(np.radians(135.0 + 477198.87 * T)) - 1.27 *
np.sin(np.radians(259.3 - 413335.36 * T))\
+ 0.66 * np.sin(np.radians(235.7 + 890534.22 * T)) + 0.21 *
np.sin(np.radians(269.9 + 954397.74 * T))\
- 0.19 * np.sin(np.radians(357.5 + 35999.05 * T)) - 0.11 *
np.sin(np.radians(186.5 + 966404.03 * T))

        e_long = np.mod(long, 360)
        lat = 5.13 * np.sin(np.radians(93.3 + 483202.02 * T)) + 0.28 *
np.sin(np.radians(228.2 + 960400.89 * T))\
- 0.28 * np.sin(np.radians(318.3 + 6003.15 * T)) - 0.17 *
np.sin(np.radians(217.6 - 407332.21 * T))

        e_lat = np.mod(lat, 360)
        h_p = 0.9508\
+ 0.0518 * np.cos(np.radians(135.0 + 477198.87 * T)) + 0.0095 *
np.cos(np.radians(259.3 - 413335.36 * T))\
+ 0.0078 * np.cos(235.7 + 890534.22 * T) + 0.0028 * np.cos(269.9
+ 954397.74 * T)
```



```
h_par = np.mod(h_p, 360)
obliquity = 23.439291 - 0.0130042 * T

l = np.cos(np.radians(e_lat)) * np.cos(np.radians(e_long))
m = np.cos(np.radians(obliquity)) * np.cos(np.radians(e_lat)) *
np.sin(np.radians(e_long)) - \
    np.sin(np.radians(obliquity)) * np.sin(np.radians(e_lat))
n = np.sin(np.radians(obliquity)) * np.cos(np.radians(e_lat)) *
np.sin(np.radians(e_long)) + \
    np.cos(np.radians(obliquity)) * np.sin(np.radians(e_lat))
dist = self.RT / np.sin(np.radians(h_par))
r_lua = dist * np.array([l, m, n])
return r_lua
```

Algoritmo para determinar a atração lunar:

```
class pert_lunar(object):
    def __init__(self, elk, JD0):
        self.hors = 3600
        self.days = 24*self.hors
        self.mi = 398600
        self.mL = 4903
        self.RE = 6378
        self.a0 = elk[0]           # semimajor axis (km)
        self.e0 = elk[1]         # eccentricity
        self.w0 = elk[2]         # argument of perigee (rad)
        self.RA0 = elk[3]        # right ascension (rad)
        self.i0 = elk[4]         # inclination (rad)
        self.TA0 = elk[5]        # true anomaly (rad)
        self.JD0 = JD0          # Julian Day

    def solveit(self):
        momA0 = np.sqrt(self.mi * self.a0 * (1 - self.e0 ** 2))
        coe0 = [momA0, self.e0, self.i0, self.RA0, self.w0, self.TA0]
        t0 = 0
        tf = 60 * self.days
        nout = 400
        mu = self.mi
        y0 = coe0

    def deriv(t, f):
        h = f[0]
        e = f[1]
        i = f[2]
        RA = f[3]
        w = f[4]
        TA = f[5]
```





```
phi = w + TA
elk = np.array([h, e, i, RA, w, TA])
R, V = direto(elk, self.mi).pos_dir()
r = np.sqrt(R[0]**2 + R[1]**2 + R[2]**2)
ur = R / r
W = np.cross(R, V)
uh = W / np.sqrt(W[0]**2 + W[1]**2 + W[2]**2)
S = np.cross(uh, ur)
us = S / np.sqrt(S[0]**2 + S[1]**2 + S[2]**2)

DJ = self.JD0 + t / self.days

R_m = atraçãoLunar(DJ).ALS_lunar_lat_lon()
r_m = np.sqrt(R_m[0]**2 + R_m[1]**2 + R_m[2]**2)
R_rel = R_m - R
r_rel = np.sqrt(R_rel[0]**2 + R_rel[1]**2 + R_rel[2]**2)
q = np.dot(R, (2 * R_m - R)) / r_m**2
F = (q**2 - 3 * q + 3) * q / (1 + (1 - q)**1.5)
ap = self.mL / r_rel**3 * (F * R_m - R)

""" Perturbação da aceleração """
apr = np.dot(ap, ur)
aph = np.dot(ap, uh)
aps = np.dot(ap, us)

hdot = r*aps
edot = h/mu*np.sin(TA)*apr + 1/mu/h*((h**2 + mu*r)*np.cos(TA)
+ mu*e*r)*aps
RADot = r/h*np.sin(i)*np.sin(phi)*aph
idot = r/h*np.cos(phi)*aph
wdot = - h*np.cos(TA)/mu/e*apr + (h**2 +
mu*r)/mu/e/h*np.sin(TA)*aps - r*np.sin(phi)/h/np.tan(i)* aph
TAdot = h/r**2 + 1/e/h*(h**2/mu*np.cos(TA)*apr - (r +
h**2/mu)*np.sin(TA)*aps)
return [hdot, edot, idot, RADot, wdot, TAdot]

coe = rk45(deriv, [t0, tf], y0)

h_f, e_f, i_f, RA_f, w_f, TA_f = coe.y
t_f = coe.t

return i_f - self.i0, RA_f - self.RA0, w_f - self.w0
```